

Московский физико-технический институт
(государственный университет)
Факультет общей и прикладной физики
Кафедра "Проблемы теоретической физики"

Боковые многофотонные резонансы и обмен энергией в сверхпроводниковом кубите

Выпускная квалификационная
работа на степень магистра
студента 528 гр. Гусева О.В.

Научный руководитель
д.ф.-м.н. Махлин Ю.Г.

Москва, 2011г.

Contents

1	Введение	2
2	Предположения о способе накачки	3
3	Приближения, упрощающие гамильтониан	4
4	Определение условий на максимумы заселенности возбужденного уровня кубита	4
5	Влияние кубита на импеданс	8
5.1	Учет вклада от первой гармоники	8
5.2	Решение уравнений движения во вращающейся системе отсчета	9
6	Анализ полученного решения	10
7	Исследование стационарных точек на устойчивость	11
8	Режим слабой накачки осциллятора	13
9	Лазерное поведение системы	15
10	Заключение	17

1 Введение

Одна из интересных проблем в области сверхпроводниковых кубитов - задача о взаимодействии многоуровневой системы (осциллятор) с двухуровневой (кубит) под внешним воздействием. Подобные задачи хорошо изучены для оптических систем [1], что позволяет использовать в данной работе некоторые известные методы из других областей физики.

В данной работе изучается система из взаимодействующих кубита и осциллятора под воздействием внешней накачки. В экспериментальной части работы [2] кубит накачивался с частотой близкой к резонансной частоте LC-контура, а на осциллятор по волноводу подавался низкочастотный сигнал. Для разных значений затворного напряжения n_g и внешнего магнитного потока Φ_b измерялась амплитуда и фаза отраженного от осциллятора сигнала. На полученной таким образом интерференционной картине наблюдаются достаточно нетривиальные участки, которые теоретически объясняются в данной работе.

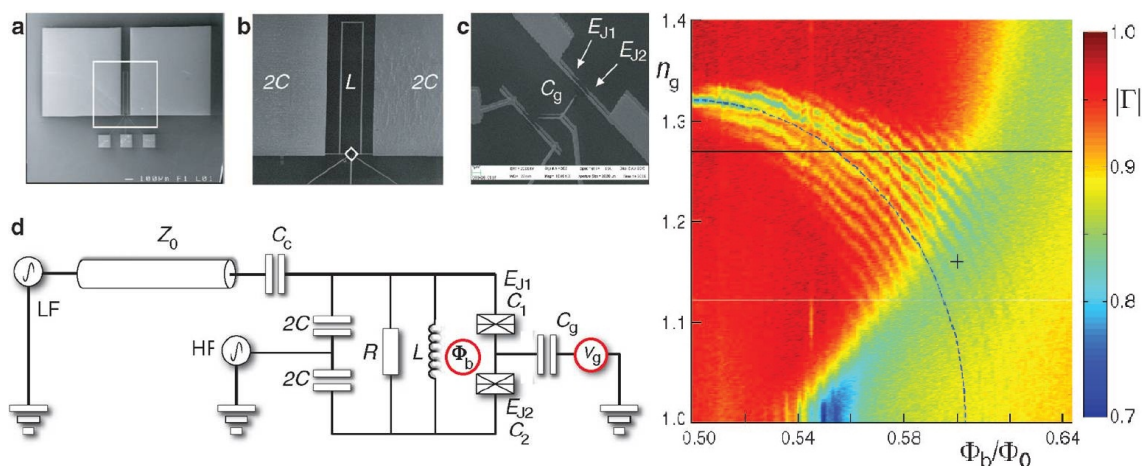


Figure 1: Экспериментальная установка

Краткое содержание работы. Для начала будет выписан гамильтониан кубита, в который добавлено взаимодействие с LC-контуром через магнитный поток в катушке. Далее показано, что на временах больших по сравнению с высокочастотной накачкой гамильтониан можно упростить. После чего для этого гамильтониана произведен более детальный анализ - найдена система отсчета, в которой уравнения движения для переменных

кубита имеют Блоховский вид.

Таким образом выяснено, как заселенность возбужденного уровня кубита зависит от параметров системы. Далее исследован вопрос о влиянии кубита на импеданс колебательного контура.

Отдельно рассмотрен режим слабой накачки осциллятора, в котором возбуждение осциллятора можно считать независимым от кубита. Показано, что результаты, полученные в этом режиме, хорошо согласуются с экспериментальными данными.

2 Предположения о способе накачки

В обозначениях статьи [3] гамильтониан кубита в зарядовом базисе имеет вид:

$$H = -2E_C (1 - n_g) \sigma_z - E_J \cos(\phi/2) \sigma_x, \quad (1)$$

где $n_g = \frac{C_g V_g}{e}$ - безразмерное затворное напряжение, $\phi = \frac{\pi \Phi}{\Phi_0}$ - фаза, связанная с магнитным потоком в кубите.

Накачка кубита осуществляется за счет периодического изменения затворного напряжения $n_g(t) = n_{g0} + \delta n \cos \omega_{\mu\nu} t$, а взаимодействие кубита с LC-контуром возникает за счет изменения магнитного потока, в линейном приближении $\cos(\phi/2) = \cos(\phi_{ex}/2) - \sin(\phi_{ex}/2) \frac{\delta\phi}{2}$ ($\delta\phi$ - фаза отвечающая за поток через катушку, а $\phi_{ex} = 2\pi\Phi_{ex}/\Phi_0$ - фаза связанная с внешним постоянным магнитным потоком), тогда гамильтониан кубита принимает вид:

$$H = -2E_C (1 - n_{g0}) \sigma_z - E_J \cos(\phi_{ex}/2) \sigma_x + 2E_C \delta n \cos \omega_{\mu\nu} t \sigma_z + E_J \sin(\phi_{ex}/2) \frac{\delta\phi}{2} \sigma_x \quad (2)$$

Выразим фазу через операторы рождения/уничтожения по формуле

$$\delta\phi = \frac{2\pi}{\Phi_0} \sqrt{\frac{\omega_0 L}{2}} (a^+ + a), \quad (3)$$

тогда после поворота вокруг оси Oy на угол θ к собственному базису эти слагаемые примут вид:

$$H = -\frac{\Delta E}{2} \sigma_z + E_J \sin(\phi_{ex}/2) \frac{\pi}{\Phi_0} \sqrt{\frac{\omega_0 L}{2}} (a + a^+) [\cos \theta \sigma_x + \sin \theta \sigma_z] - 2E_C \delta n \cos \omega_{\mu\nu} t [\cos \theta \sigma_z - \sin \theta \sigma_x] \quad (4)$$

Угол поворота к этому базису (выбираем такой угол, что $\cos \theta > 0$):

$$\sin \theta = \frac{-E_J \cos \frac{\phi_{ex}}{2}}{\sqrt{(2E_C(1 - n_{g0}))^2 + (E_J \cos \frac{\phi_{ex}}{2})^2}} \quad (5)$$

$$\Delta E = 2\sqrt{(2E_C(1 - n_{g0}))^2 + \left(E_J \cos \frac{\phi_{ex}}{2}\right)^2} \quad (6)$$

3 Приближения, упрощающие гамильтониан

Экспериментально интересен случай с накачкой на околорезонансной частоте $|\Delta E - \omega_{\mu w}| \ll \omega_{\mu w}$. Поэтому перейдем в систему отсчета, вращающуюся вокруг оси Oz с частотой $\omega_{\mu w}$, в ней гамильтониан 4 примет вид:

$$\begin{aligned} H = & \frac{\omega_{\mu w} - \Delta E}{2} \sigma_z + \\ & + E_J \sin(\phi_{ex}/2) \frac{\pi}{\Phi_0} \sqrt{\frac{\omega_0 L}{2}} (a + a^+) [\cos \theta (\sigma_x \cos \omega_{\mu w} t - \sigma_y \sin \omega_{\mu w} t) + \sin \theta \sigma_z] - \\ & - 2E_C \delta n \cos \omega_{\mu w} t [\cos \theta \sigma_z - \sin \theta (\sigma_x \cos \omega_{\mu w} t - \sigma_y \sin \omega_{\mu w} t)] \end{aligned} \quad (7)$$

В этой системе отсчета все процессы значительно медленнее $\omega_{\mu w}$, а потому гамильтониан можно усреднить по времени на интервалах τ :

$$\frac{1}{\omega_{\mu w}} \ll \tau \ll \min \left(\frac{1}{|\Delta E - \omega_{\mu w}|}, \frac{1}{E_C \delta n}, \frac{1}{E_J \delta \phi} \right) \quad (8)$$

После усреднения гамильтониан примет вид:

$$H = \left(\frac{\omega_{\mu w} - \Delta E}{2} + E_J \sin(\phi_{ex}/2) \frac{\pi}{\Phi_0} \sqrt{\frac{\omega_0 L}{2}} (a + a^+) \sin \theta \right) \sigma_z + 2E_C \delta n \sin \theta \sigma_x \quad (9)$$

4 Определение условий на максимумы заселенности возбужденного уровня кубита

Как будет показано далее в этой системе кубит намного быстрее LC-контура и можно их разделить в адиабатическом приближении. Поэтому сперва выясним, как параметры задачи влияют на состояние кубита.

Добавим в гамильтониан слагаемые отвечающие за LC-контур, подверженный внешней накачке. Тогда в новых обозначениях формула 9 примет вид:

$$H = \omega_0 a^+ a + [a^+ e^{-i\omega t} F^* + a e^{i\omega t} F] + g [a + a^+] \sigma_z + \frac{\omega_{\mu w} - \Delta E}{2} \sigma_z + \frac{A}{2} \sigma_x, \quad (10)$$

где для удобства введены следующие обозначения:

$$\begin{aligned} A &= 4E_C \delta n \sin \theta \\ g &= E_J \sin(\phi_{ex}/2) \frac{\pi}{\Phi_0} \sqrt{\frac{\omega_0 L}{2}} \sin \theta \end{aligned} \quad (11)$$

Выпишем уравнения Гейзенберга $\dot{A} = i[H, A]$ для средних значений операторов:

$$\begin{cases} \dot{a} = -i\omega_0 a - i e^{-i\omega t} F^* - ig\sigma_z \\ \dot{\sigma}_z = A\sigma_y \\ \dot{\sigma}_y = [2g(a + a^+) + \omega_{\mu w} - \Delta E] \sigma_x - A\sigma_z \\ \dot{\sigma}_x = -[2g(a + a^+) + \omega_{\mu w} - \Delta E] \sigma_y \end{cases} \quad (12)$$

Теперь сделаем преобразование, домножающее операторы на фазу, зависящую от времени, в базисе осцилляторных переменных, т.ч. $\tilde{a} = e^{i\omega t} a$. В новых переменных система уравнений примет вид:

$$\begin{cases} \dot{a} = i(\omega - \omega_0) a - iF^* - g\sigma_z e^{i\omega t} \\ \dot{\sigma}_z = A\sigma_y \\ \dot{\sigma}_y = [2g(ae^{-i\omega t} + a^+ e^{i\omega t}) + \omega_{\mu w} - \Delta E] \sigma_x - A\sigma_z \\ \dot{\sigma}_x = -[2g(ae^{-i\omega t} + a^+ e^{i\omega t}) + \omega_{\mu w} - \Delta E] \sigma_y \end{cases} \quad (13)$$

Сделаем следующие предположения относительно параметров задачи:

- 1) Частота сигнала, подаваемого на LC-контур, близка к резонансной частоте контура.
- 2) Амплитуда сигнала, подаваемого на LC-контур, в некотором (определим позднее) смысле мала.

При выполнении этих условий осциллятор можно считать медленным по сравнению с кубитом и решать уравнения на спин в адиабатическом приближении, положив переменную $a(t) \equiv a$ независимой от времени.

Для удобства введем следующие обозначения: $\alpha = 4g \operatorname{Re} a$, $\beta = 4g \operatorname{Im} a$ и $\varepsilon = (\omega_{\mu w} - \Delta E) - \omega n$, причем целое число n подбирается так что $|\varepsilon| \leq \omega/2$, тогда спиновые уравнения примут вид:

$$\begin{cases} \dot{\sigma}_z = A\sigma_y \\ \dot{\sigma}_y = [\alpha \cos \omega t + \beta \sin \omega t + n\omega + \varepsilon] \sigma_x - A\sigma_z \\ \dot{\sigma}_x = -[\alpha \cos \omega t + \beta \sin \omega t + n\omega + \varepsilon] \sigma_y \end{cases} \quad (14)$$

Будем решать эту систему, делая поворот относительно оси Oz в спиновом пространстве на угол $\psi(t)$, зависящий от времени. Для того, чтобы в новой СО магнитное поле вдоль оси Oz было мало удобно выбрать $\psi(t) = -\int_{t_0}^t d\tau (\alpha \cos \omega\tau + \beta \sin \omega\tau + n\omega) = \frac{1}{\omega} (\beta \cos \omega t - \alpha \sin \omega t) - n\omega t$. После подстановки получим:

$$\begin{cases} \dot{\sigma}_z = A (\sigma_x \sin \psi + \sigma_y \cos \psi) \\ \dot{\sigma}_y = \varepsilon \sigma_x - A \sigma_z \cos \psi \\ \dot{\sigma}_x = -\varepsilon \sigma_y - A \sigma_z \sin \psi \end{cases} \quad (15)$$

Заметим, что $\sin \psi$, $\cos \psi$ - периодические функции времени с периодом $2\pi/\omega$. Следовательно, их можно разложить в ряды Фурье:

$$\begin{cases} \sin \psi = \sum_k f_k e^{ik\omega t} & f_k = \frac{1}{2\pi} \int_{-\pi}^{\pi} dx e^{-ikx} \sin \left(\frac{1}{\omega} (\beta \cos x - \alpha \sin x) - nx \right) \\ \cos \psi = \sum_k g_k e^{ik\omega t} & g_k = \frac{1}{2\pi} \int_{-\pi}^{\pi} dx e^{-ikx} \cos \left(\frac{1}{\omega} (\beta \cos x - \alpha \sin x) - nx \right) \end{cases} \quad (16)$$

Введем обозначение $I(k) = \frac{1}{2\pi} \int_{-\pi}^{\pi} dx \exp \{ i [-(n+k)x + \frac{1}{\omega} (\beta \cos x - \alpha \sin x)] \}$, тогда

$$f_k = \frac{1}{2i} (I(k) - I^*(-k)) \quad g_k = \frac{1}{2} (I(k) + I^*(-k)) \quad (17)$$

Вычислим $I(k)$, для чего введем обозначения $D = \frac{1}{\omega} \sqrt{\alpha^2 + \beta^2}$ и $e^{i\varphi} = \frac{\beta + i\alpha}{\sqrt{\alpha^2 + \beta^2}}$.

$$I(k) = \frac{1}{2\pi} \int_{-\pi}^{\pi} dx \exp \{ i [-(n+k)x + D \cos(x + \varphi)] \} = \quad (18)$$

пользуясь тем, что подынтегральная функция имеет период 2π

$$= \frac{e^{i(n+k)\varphi}}{2\pi} \int_0^{2\pi} dx e^{iD \cos x - i(n+k)x} = \quad (19)$$

пользуясь интегральным представлением функции Бесселя первого рода $J_n(z) = \frac{1}{2\pi i^n} \int_0^{2\pi} e^{iz \cos x + inx} dx$

$$= e^{i(n+k)\varphi} i^{-n-k} J_{-n-k}(D) = e^{i(n+k)(\varphi+\pi/2)} J_{n+k}(D) \quad (20)$$

Теперь можно получить окончательные коэффициенты разложения $\cos \psi$, $\sin \psi$ в ряды Фурье:

$$\begin{cases} f_k = \frac{1}{2i} e^{ik(\varphi+\pi/2)} (e^{in(\varphi+\pi/2)} J_{n+k}(D) - e^{-in(\varphi+\pi/2)} J_{n-k}(D)) \\ g_k = \frac{1}{2} e^{ik(\varphi+\pi/2)} (e^{in(\varphi+\pi/2)} J_{n+k}(D) + e^{-in(\varphi+\pi/2)} J_{n-k}(D)) \end{cases} \quad (21)$$

Воспользуемся RWA (приближение вращающейся волны, в котором пренебрегают всеми ненулевыми гармониками периодических функций), т.е. оставим

только нулевые гармоники в разложениях $\cos \psi, \sin \psi$, тогда в системе уравнений на компоненты спина полностью исчезнет зависимость от времени, и она примет вид:

$$\begin{cases} \dot{\sigma}_z = A(\sigma_x \sin(n(\varphi + \pi/2)) + \sigma_y \cos(n(\varphi + \pi/2))) J_n(D) \\ \dot{\sigma}_y = \varepsilon \sigma_x - A \sigma_z \cos(n(\varphi + \pi/2)) J_n(D) \\ \dot{\sigma}_x = -\varepsilon \sigma_y - A \sigma_z \sin(n(\varphi + \pi/2)) J_n(D) \end{cases} \quad (22)$$

Сделаем еще один поворот спинового базиса $U = \exp\{-i\frac{\sigma_z}{2}(n(\varphi + \pi/2))\}$, чтобы убрать σ_x из уравнения на $\dot{\sigma}_z$. Это нужно для того, чтобы система приняла вид идентичный системе уравнений Блоха из [4]. В новом базисе получим:

$$\begin{cases} \dot{\sigma}_z = A J_n(D) \sigma_y \\ \dot{\sigma}_y = \varepsilon \sigma_x - A J_n(D) \sigma_z \\ \dot{\sigma}_x = -\varepsilon \sigma_y \end{cases} \quad (23)$$

Феноменологически добавим в эту систему члены, ответственные за затухание с временами T_1, T_2 вдоль оси Oz и в перпендикулярной плоскости соответственно. Так как все повороты совершались относительно оси Oz , то эти же времена можно было ввести в самом начале, и в этой много раз повернутой системе координат они бы не изменились. Система уравнений Блоха:

$$\begin{cases} \dot{\sigma}_z = A J_n(D) \sigma_y - \frac{\sigma_z - \sigma_0}{T_1} \\ \dot{\sigma}_y = \varepsilon \sigma_x - A J_n(D) \sigma_z - \frac{\sigma_y}{T_2} \\ \dot{\sigma}_x = -\varepsilon \sigma_y - \frac{\sigma_x}{T_2} \end{cases} \quad (24)$$

Выпишем из [4] стационарное решение:

$$\begin{cases} \sigma_z \Big|_{st} = \frac{1 + (\varepsilon T_2)^2}{1 + (\varepsilon T_2)^2 + (A J_n(D))^2 T_1 T_2} \sigma_0 \\ \sigma_y \Big|_{st} = \frac{-A J_n(D) T_2}{1 + (\varepsilon T_2)^2 + (A J_n(D))^2 T_1 T_2} \sigma_0 \\ \sigma_x \Big|_{st} = \frac{A J_n(D) \varepsilon T_2^2}{1 + (\varepsilon T_2)^2 + (A J_n(D))^2 T_1 T_2} \sigma_0 \end{cases} \quad (25)$$

Вспоминая, что $\sigma_z = \sigma_0$ соответствует основному состоянию кубита, введем $\rho_{excit} = \sigma_0 - \sigma_z$ - заселенность возбужденного уровня.

$$\rho_{excit} = \frac{(A J_n(D))^2 T_1 T_2}{1 + (\varepsilon T_2)^2 + (A J_n(D))^2 T_1 T_2} \sigma_0 \quad (26)$$

Как видно из этой формулы, максимумы заселенности возбужденного уровня соответствуют экстремумам функции Бесселя (нулям производной

функции Бесселя, которые обозначим $j'_{n,s}$) и $\varepsilon = 0$. Т.е. система уравнений на параметры задачи, определяющая максимумы:

$$\begin{cases} \omega_{\mu w} - \Delta E = \omega n \\ j'_{n,s} = D = \frac{\sqrt{\alpha^2 + \beta^2}}{\omega} = \frac{4g|a|}{\omega} \end{cases} \quad (27)$$

5 Влияние кубита на импеданс

В этом разделе исследуем влияние кубита на импеданс колебательного контура. Ввиду того, что будут использоваться некоторые приближения, сделаем это двумя различными способами для надежности.

5.1 Учет вклада от первой гармоники

Вернемся к проведенному ранее анализу, уравнение движения на a :
13:

$$\dot{a} = i(\omega - \omega_0)a - iF^* - ig\sigma_z e^{i\omega t} \quad (28)$$

Как видно из уравнения на \dot{a} , вклад от нулевой гармоники σ_z обнуляется на временах $\tau \gg \frac{1}{\omega}$. Весь ненулевой вклад дается усреднением этого слагаемого:

$$\overline{\sigma_z e^{i\omega t}} = \frac{1}{2\tau} \int_{-\tau}^{\tau} dt e^{i\omega t} \int \frac{d\Omega}{2\pi} \tilde{\sigma}_z(\Omega) e^{i\Omega t} \approx \frac{1}{2\tau} \tilde{\sigma}_z(-\omega) \quad (29)$$

Поэтому нужно более аккуратно исследовать систему уравнений движения. Для этого рассмотрим фурье образ уравнения $\dot{\sigma}_z = A(\sigma_x \sin \psi + \cos \psi \sigma_y)$:

$$i\Omega \tilde{\sigma}_z(\Omega) = A \sum_k (f_k \tilde{\sigma}_x(\Omega - k\omega) + g_k \tilde{\sigma}_y(\Omega - k\omega)) \quad (30)$$

Полагая, что ненулевые гармоники σ_x , σ_y дают вклады более высокой степени по A , оставим только их нулевые гармоники:

$$-i\omega \tilde{\sigma}_z(-\omega) = A(\tilde{\sigma}_x(0)f_{-1} + \tilde{\sigma}_y(0)g_{-1}) \quad (31)$$

$$\tilde{\sigma}_z(-\omega) = \frac{iA}{\omega} (\tilde{\sigma}_x(0)f_{-1} + \tilde{\sigma}_y(0)g_{-1}) \quad (32)$$

Переходя от Фурье-гармоник к усреднению по времени:

$$\overline{\sigma_z e^{i\omega t}} = \frac{iA}{\omega} (\overline{\sigma_x} f_{-1} + \overline{\sigma_y} g_{-1}) \quad (33)$$

Подставим сюда стационарные значения для $\overline{\sigma_x}, \overline{\sigma_y}$ и f_{-1}, g_{-1} , которые равны:

$$\begin{cases} \overline{\sigma_x} = \frac{AJ_n(D)T_2}{1+(\varepsilon T_2)^2+(AJ_n(D))^2T_1T_2} \sigma_0 [\varepsilon T_2 \cos(n(\varphi + \pi/2)) - \sin(n(\varphi + \pi/2))] \\ \overline{\sigma_y} = -\frac{AJ_n(D)T_2}{1+(\varepsilon T_2)^2+(AJ_n(D))^2T_1T_2} \sigma_0 [\cos(n(\varphi + \pi/2)) + \varepsilon T_2 \sin(n(\varphi + \pi/2))] \\ f_{-1} = \frac{1}{2i} e^{-i(\varphi+\pi/2)} (e^{in(\varphi+\pi/2)} J_{n-1}(D) - e^{-in(\varphi+\pi/2)} J_{n+1}(D)) \\ g_{-1} = \frac{1}{2} e^{-i(\varphi+\pi/2)} (e^{in(\varphi+\pi/2)} J_{n-1}(D) + e^{-in(\varphi+\pi/2)} J_{n+1}(D)) \end{cases} \quad (34)$$

Итак,

$$\overline{\sigma_z e^{i\omega t}} = \frac{e^{-i(\varphi+\pi/2)} A^2 T_2 J_n(D) \sigma_0}{2\omega (1 + (\varepsilon T_2)^2 + (AJ_n(D))^2 T_1 T_2)} [\varepsilon T_2 (J_{n-1}(D) - J_{n+1}(D)) - i (J_{n-1}(D) + J_{n+1}(D))] \quad (35)$$

Используя соотношения на функции Бесселя $J_{\nu-1}(z) + J_{\nu+1}(z) = \frac{2\nu}{z} J_\nu(z)$ и $J_{\nu-1}(z) - J_{\nu+1}(z) = 2J'_\nu(z)$, а также определение угла $\varphi : a = |a| \exp(i(\pi/2 - \varphi))$, получим:

$$\overline{\sigma_z e^{i\omega t}} = \frac{ia}{\omega |a|} \frac{A^2 T_2 J_n(D) \sigma_0}{1 + (\varepsilon T_2)^2 + (AJ_n(D))^2 T_1 T_2} \left[\frac{n}{D} J_n(D) + i\varepsilon T_2 J'_n(D) \right] \quad (36)$$

Теперь можно записать уравнение на \dot{a} :

$$\dot{a} = i(\omega - \omega_0) a - iF^* + \frac{a}{\omega |a|} \frac{g\sigma_0 A^2 T_2 J_n(D)}{1 + (\varepsilon T_2)^2 + (AJ_n(D))^2 T_1 T_2} \left[\frac{n}{D} J_n(D) + i\varepsilon T_2 J'_n(D) \right] \quad (37)$$

Ввиду того, что мы ищем поправку лишь в главном приближении по A , пренебрежем соответствующим слагаемым в знаменателе:

$$\dot{a} = i(\omega - \omega_0) a - iF^* + \frac{a}{\omega |a|} \frac{g\sigma_0 A^2 T_2 J_n(D)}{1 + (\varepsilon T_2)^2} \left[\frac{n}{D} J_n(D) + i\varepsilon T_2 J'_n(D) \right] \quad (38)$$

5.2 Решение уравнений движения во вращающейся системе отсчета

В системе отсчета, повернутой на $\theta(t)$ относительно исходной гамильтониан имеет вид:

$$H = (\omega_0 - \omega) a^+ a + [a^+ F^* + aF] + \frac{\varepsilon}{2} \sigma_z + \frac{A}{2} (\sigma_x \cos \theta - \sigma_y \sin \theta) \quad (39)$$

Усредним гамильтониан на временах $\tau \gg \frac{1}{\omega}$, тогда от $\sin \theta$ и $\cos \theta$ останутся только их нулевые гармоники:

$$H = (\omega_0 - \omega) a^+ a + [a^+ F^* + aF] + \frac{\varepsilon}{2} \sigma_z + \frac{AJ_n(D)}{2} (\sigma_x \cos(n(\varphi + \pi/2)) - \sigma_y \sin(n(\varphi + \pi/2))) \quad (40)$$

Как нетрудно убедиться, решение уравнений на стационарное значение спина совпадает с тем, что было получено ранее (с точностью до подкрутки к этому базису). Поэтому интерес представляет только уравнение на \dot{a} . Его можно получить исходя из общей формулы для коммутатора в квазиклассическом приближении:

$$[\cdot, a] = \frac{\partial}{\partial a^+} \cdot \quad (41)$$

$$\begin{aligned} \frac{\partial}{\partial a^+} \cos(n(\varphi + \pi/2)) &= i \frac{na}{2|a|^2} \sin(n(\varphi + \pi/2)) \\ \frac{\partial}{\partial a^+} \sin(n(\varphi + \pi/2)) &= -i \frac{na}{2|a|^2} \cos(n(\varphi + \pi/2)) \\ \frac{\partial}{\partial a^+} J_n(D) &= \frac{2ga}{\omega|a|} J'_n(D) \end{aligned} \quad (42)$$

С помощью этих производных получим поправку к \dot{a} :

$$\begin{aligned} \delta \dot{a} &= \frac{iA}{2} \left(\frac{2ga}{\omega|a|} J'_n(D) (\sigma_x \cos(n(\varphi + \pi/2)) - \sigma_y \sin(n(\varphi + \pi/2))) \right. \\ &\quad \left. + \frac{ina}{2|a|^2} J_n(D) (\sigma_y \cos(n(\varphi + \pi/2)) + \sigma_x \sin(n(\varphi + \pi/2))) \right) \end{aligned} \quad (43)$$

вспоминая, что выражения в скобках из σ и тригонометрических функций по сути являются стационарными решениями в базисе 25, получим:

$$\dot{a} = i(\omega - \omega_0) a - iF^* + \frac{a}{\omega|a|} \frac{g\sigma_0 A^2 T_2 J_n(D)}{1 + (\varepsilon T_2)^2 + (AJ_n(D))^2 T_1 T_2} \left[\frac{n}{D} J_n(D) + i\varepsilon T_2 J'_n(D) \right], \quad (44)$$

что в точности совпадает с 37.

6 Анализ полученного решения

Добавим член отвечающий за затухание в LC-контуре, тогда уравнение движения для a (введем обозначение для отстройки частоты $\Omega = \omega - \omega_0$):

$$\dot{a} = i\Omega a - iF^* + \frac{a}{\omega|a|} \frac{g\sigma_0 A^2 T_2 J_n(D)}{1 + (\varepsilon T_2)^2} \left[\frac{n}{D} J_n(D) + i\varepsilon T_2 J'_n(D) \right] - \varkappa a \quad (45)$$

Ограничимся изучением эффектов в точных n -фотонных резонансах, т.е. положим $\varepsilon = 0$:

$$\dot{a} = i\Omega a - iF^* + \frac{a}{\omega|a|} \frac{g\sigma_0 A^2 T_2}{1 + (\varepsilon T_2)^2} \frac{nJ_n^2(D)}{D} - \varkappa a \quad (46)$$

У нелинейной системы, вообще говоря, может быть много стационарных решений. Далее исследуем эти решения более подробно, рассмотрим вопрос об их устойчивости.

7 Исследование стационарных точек на устойчивость

В окрестности n -фотонных резонансов уравнение движения на осцилляторную переменную имеет вид:

$$\dot{a} = i\Omega a - \varkappa a - iF^* + \frac{na}{4|a|^2} \frac{\sigma_0 A^2 T_2 J_n^2(D)}{1 + (\varepsilon T_2)^2} \quad (47)$$

Теперь учтем тот факт, что F - ток на осцилляторе, который получается из входящего и отраженного сигнала, причем внешним параметром является именно входящий ток. Итак, пусть J - сила тока, подаваемого на LC-контур внешними источниками, тогда

$$F = J(1 - \Gamma), \quad (48)$$

где $\Gamma = \frac{Z - Z_0}{Z + Z_0}$ - коэффициент отражения. Импеданс LC-контура вблизи резонанса:

$$Z = \frac{a^*}{2iCF} \quad (49)$$

Откуда можно получить соотношение:

$$F = 2J - \frac{a^*}{2iCZ_0}, \quad \frac{1}{Z} = \frac{2iC}{a^*} \left(2J - \frac{a^*}{2iCZ_0} \right) = \frac{4iCJ}{a^*} - \frac{1}{Z_0} \quad (50)$$

$$\dot{a} = a \left(i\Omega - \varkappa - \frac{1}{2CZ_0} + \frac{n}{4|a|^2} \frac{\sigma_0 A^2 T_2 J_n^2(D)}{1 + (\varepsilon T_2)^2} \right) - 2iJ^* \quad (51)$$

Для исследования на устойчивость стационарные решения, перейдем к переменным D, θ .

$$a = \frac{\omega}{4g} D e^{i\theta} \quad (52)$$

Тогда в новых переменных:

$$\dot{D} = \frac{4g}{\omega} \frac{d}{dt} \sqrt{aa^*} = \frac{D}{2} \left(\frac{\dot{a}}{a} + \frac{\dot{a}^*}{a^*} \right) = D \left(-\varkappa - \frac{1}{2CZ_0} + n\beta \frac{J_n^2(D)}{D^2} \right) + iD \left(\frac{J}{a^*} - \frac{J^*}{a} \right), \quad (53)$$

где $\beta = \frac{4g^2 \sigma_0 A^2 T_2}{\omega^2} \frac{1}{1 + (\varepsilon T_2)^2}$.

Выберем $J \in \mathbb{R}$ и введем обозначения $\frac{4g}{\omega} J = G$ и $\varkappa_0 = \frac{1}{2CZ_0}$, тогда:

$$\dot{D} = D \left(-\varkappa - \varkappa_0 + n\beta \frac{J_n^2(D)}{D^2} \right) - 2G \sin \theta \quad (54)$$

Уравнение для фазы:

$$\dot{\theta} = -ie^{-i\theta} \frac{d}{dt} \sqrt{a/a^*} = \frac{e^{-i\theta}}{2i} \frac{a}{|a|} \left(\frac{\dot{a}}{a} - \frac{\dot{a}^*}{a^*} \right) = \Omega - J(1/a + 1/a^*) \quad (55)$$

Итак,

$$\begin{aligned}\dot{D} &= D \left(-\varkappa - \varkappa_0 + n\beta \frac{J_n^2(D)}{D^2} \right) - 2G \sin \theta \\ \dot{\theta} &= \Omega - \frac{2G}{D} \cos \theta\end{aligned}$$

Вычислим матрицу Якоби, чтобы исследовать на устойчивость стационарные решения.

$$Jacobian = \begin{pmatrix} -\varkappa - \varkappa_0 + n\beta \frac{J_n}{D} \left(2J'_n - \frac{J_n}{D} \right) & -2G \cos \theta \\ \frac{2G}{D^2} \cos \theta & \frac{2G}{D} \sin \theta \end{pmatrix} \quad (56)$$

Нас интересуют след и детерминант этой матрицы:

$$tr = -\varkappa - \varkappa_0 + n\beta \frac{J_n}{D} \left(2J'_n - \frac{J_n}{D} \right) + \frac{2G}{D} \sin \theta \quad (57)$$

$$det = \left(-\varkappa - \varkappa_0 + n\beta \frac{J_n}{D} \left(2J'_n - \frac{J_n}{D} \right) \right) \frac{2G}{D} \sin \theta + \frac{4G^2}{D^2} \cos^2 \theta \quad (58)$$

Учитывая то, что в стационарной точке $\dot{D} = \dot{\theta} = 0$, приведем их к виду:

$$tr = 2 \left(-\varkappa - \varkappa_0 + n\beta \frac{J_n}{D} \left(J'_n - \frac{J_n}{D} \right) \right) \quad (59)$$

$$det = \frac{4G^2}{D^2} + 2n\beta \frac{J_n}{D} \left(J'_n - \frac{J_n}{D} \right) \left(-\varkappa - \varkappa_0 + n\beta \frac{J_n^2(D)}{D^2} \right) \quad (60)$$

Если теперь рассмотреть стационарную точку как пересечение кривых 2:

$$\varkappa + \varkappa_0 - n\beta \frac{J_n^2}{D^2} = \sqrt{(2G/D)^2 - \Omega^2} \quad (61)$$

Производная левой части:

$$der_1 = -2n\beta \frac{J_n}{D} \left(J'_n - \frac{J_n}{D} \right) \quad (62)$$

Производная правой части:

$$der_2 = \frac{-\frac{1}{D} (2G/D)^2}{\varkappa + \varkappa_0 - n\beta \frac{J_n^2}{D^2}} \quad (63)$$

Откуда видно, что детерминант можно выразить через разность производных:

$$det = (der_1 - der_2) \cdot \left(\varkappa + \varkappa_0 - n\beta \frac{J_n^2}{D^2} \right) \cdot D \quad (64)$$

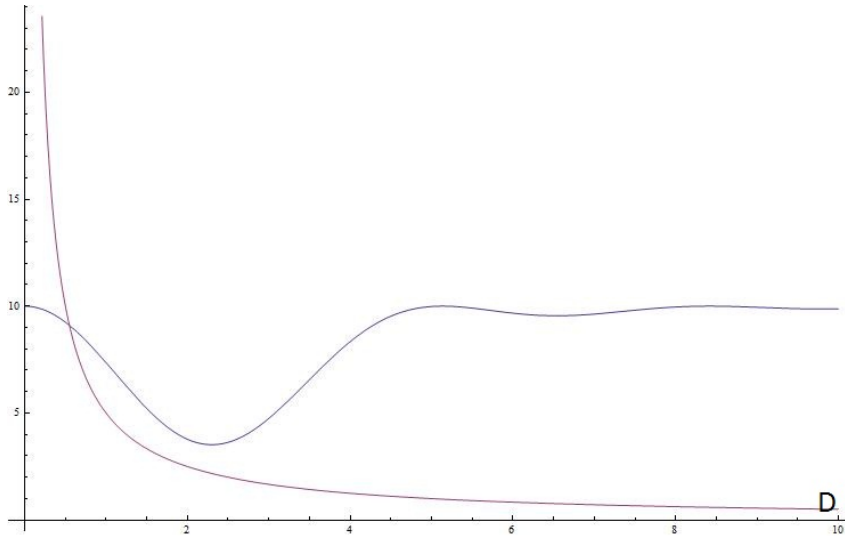


Figure 2: Пример графика этих кривых, как функции D

и знак детерминанта совпадает со знаком разности производных, а след при этом отрицателен.

Итак, можно сформулировать признак устойчивости стационарной точки - если изобразить кривые $\kappa + \kappa_0 - n\beta \frac{J_n^2(D)}{D^2}$ и $\sqrt{(2G/D)^2 - \Omega^2}$ как функции от D , то их пересечения будут стационарными точками. Критерием устойчивости при этом будет разность производных (одна кривая пересекает сверху-вниз или снизу-верх), следовательно устойчивые и неустойчивые стационарные решения будут чередоваться, начиная с устойчивого.

8 Режим слабой накачки осциллятора

Как нетрудно понять из рисунка 2 в режиме слабой накачки гипербола будет очень близка к вертикальной оси и стационарная точка будет единственной. Причем с высокой степенью точности можно полагать, что эта точка не зависит от параметров задачи. Поэтому в этом разделе значение переменной a будем полагать фиксированным и зависящим только от силы накачки осциллятора, а не от состояния кубита. На рисунке 3 изображены кривые $\Delta E = \omega_{\mu\nu} - n\omega$ для разных значений n . Эти линии соответствуют точным n -фотонным резонансам.

Несложно рассмотреть систему из LC-контра и основного состояния

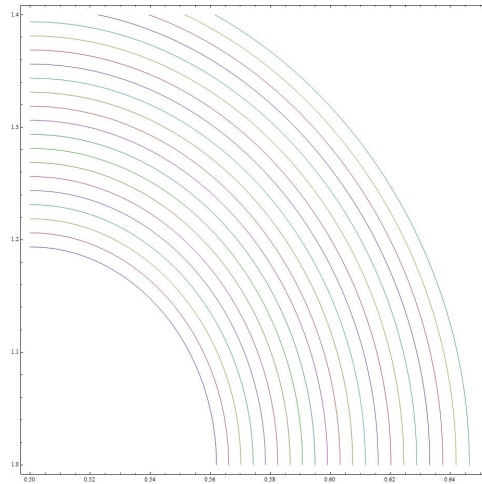


Figure 3: Линии, соответствующие n-фотонным резонансам

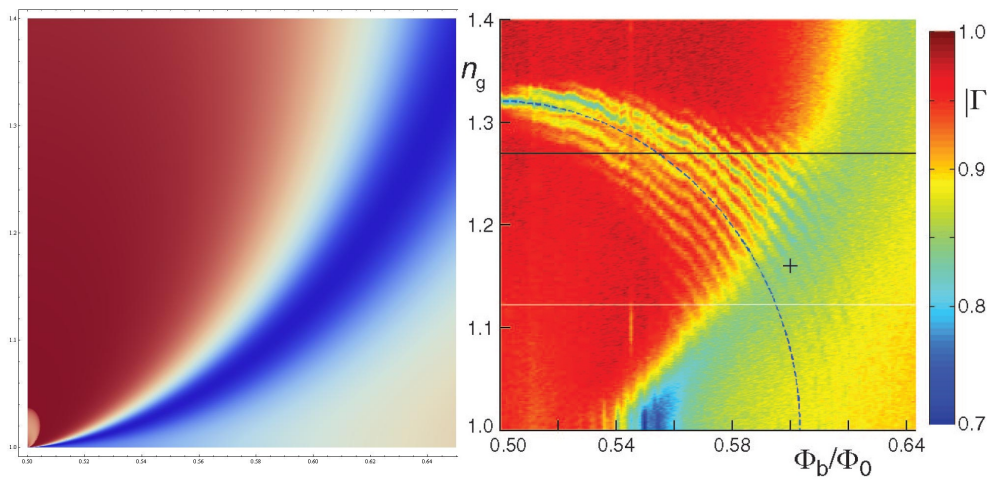


Figure 4: Модуль коэффициента отражения системы из LC-контура и основного состояния кубита

кубита, энергия которой в зависимости от магнитного потока:

$$U(\Phi) = \frac{(\Phi - \Phi_0)^2}{2L} - \frac{1}{2} \sqrt{E_{el}^2 + \left(2E_J \cos \frac{\pi\Phi}{\Phi_0}\right)^2} \quad (65)$$

Откуда можно найти поправку к индуктивности катушки, а следовательно, и к импедансу колебательного контура. Зная, как импеданс зависит от параметров кубита, можно вычислить коэффициент отражения от

LC-контра по формуле $\Gamma = \frac{Z-Z_0}{Z+Z_0}$. На рисунке 4 изображен модуль коэффициента отражения, вычисленный таким образом.

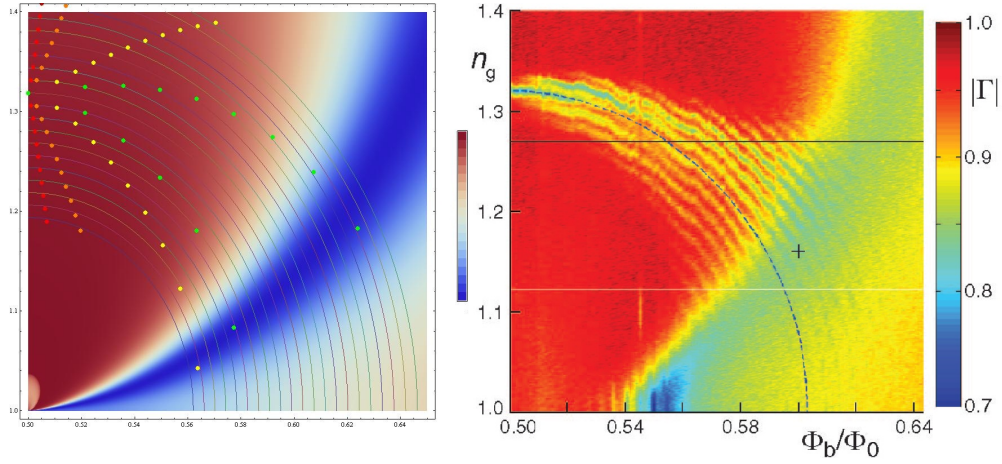


Figure 5: Точки соответствуют максимумам заселенности возбужденного уровня кубита

Для большей наглядности, на рисунке 5 совмещены два предыдущих рисунка и наложены точки, в которых заселенность возбужденного уровня достигает локальных максимумов (несколько серий точек соответствуют разному уровню накачки осциллятора). Хорошо видно, что при увеличении амплитуды накачки LC-контра (увеличение уровня возбуждения осциллятора) угол раствора сектора с нетривиальными эффектами увеличивается, что также наблюдалось в экспериментах.

Также в этом режиме можно вычислить поправки к частоте осциллятора с кубитом в основном состоянии ω_{Gr} и в возбужденном состоянии ω_{Ex} и усреднить на временах порядка частоты осциллятора, получив частоту осциллятора, связанного с кубитом $\omega = (1 - P_{Ex}) \cdot \omega_{Gr} + P_{Ex} \cdot \omega_{Ex}$. На рисунке 6 изображен модуль коэффициента отражения, вычисленный таким образом.

9 Лазерное поведение системы

Эта модель, вообще говоря, подразумевает возможность усиления отраженного сигнала вплоть до лазерного поведения. Коэффициент

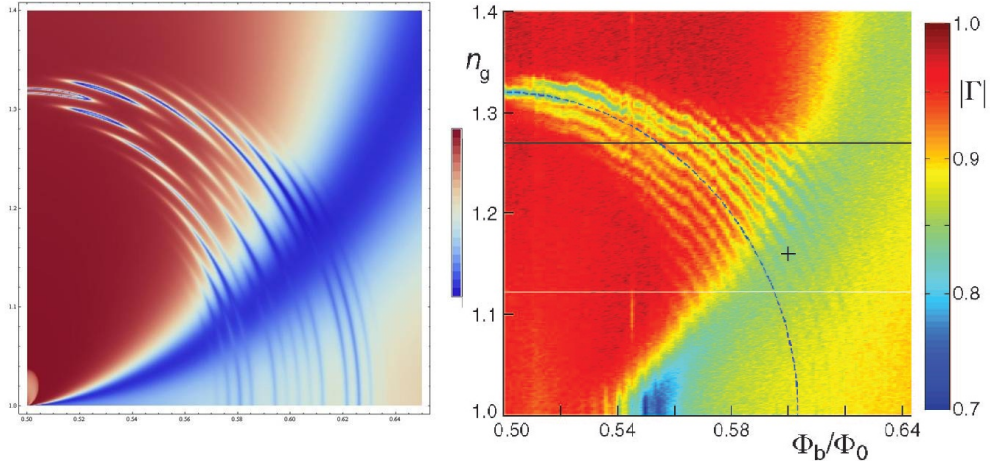


Figure 6: Точки соответствуют максимумам заселенности возбужденного уровня кубита

отражения сигнала:

$$\Gamma = \frac{Z - Z_0}{Z + Z_0} \quad (66)$$

Из этой формулы видно, что при отрицательном значении действительной части импеданса (импеданс волновода полагается действительным) модуль коэффициента отражения может быть больше единицы.

Если вернуться опять к определению стационарного решения через пересечение кривых $\varkappa + \varkappa_0 - n\beta \frac{J_n^2}{D^2}$ и $\sqrt{(2G/D)^2 - \Omega^2}$ на рисунке 7, то стационарные решения (пересечения кривых), попавшие ниже уровня \varkappa_0 будут давать $|\Gamma| > 1$.

Также возможны стационарные решения с $|\Gamma| = \infty$, которые получаются при пересечении кривых на оси абсцисс. В частности, когда внешняя накачка осциллятора отсутствует $G = 0$, а накачка кубита достаточно сильна. Но нельзя забывать, что при $G = 0$ всегда существует стационарное решение $D = 0$, в котором невозмущенный осциллятор ничего не излучает.

Достаточно интересный вопрос о переходах между различными стационарными состояниями в случае, когда их много, на данный момент не решен.

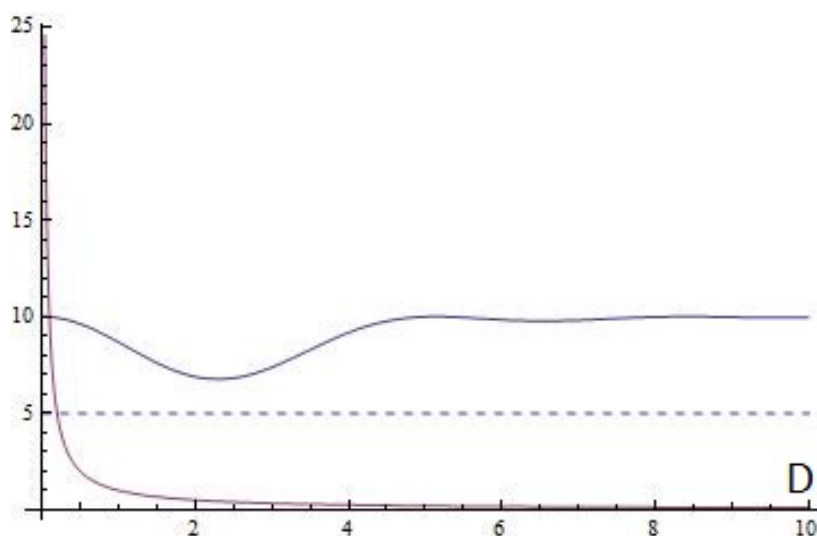


Figure 7: Характерный вид этих кривых

10 Заключение

В данной работе была построена и изучена модель для описания системы из взаимодействующих кубита и осциллятора под воздействием внешней накачки. Из полученных результатов можно понять, как изменение мощности накачки влияет на интерференционную картину. Изменение мощности накачки кубита влияет на глубину провалов модуля коэффициента отражения, а изменение мощности накачки осциллятора главным образом влияет на угол раствора сектора с нетривиальными эффектами - оба этих факта хорошо согласуются с экспериментом. Также показано, что в режиме слабой накачки осциллятора интерференционную картину можно разбить на несколько эффектов и каждый описать по отдельности, что позволяет лучше понять эту задачу.

В качестве дальнейшего развития рассмотренной задачи можно было бы на основе уравнения Фоккера-Планка изучить динамику переходов между различными стационарными состояниями.

В заключение хочу выразить свою благодарность Махлину Юрию Генриховичу за ценные советы и рекомендации при обсуждении дипломной работы.

References

- [1] M. Reid, K. McNeil, and D. Walls, "Unified approach to multiphoton lasers and multiphoton bistability", *PhysRevA*.24.2029.
- [2] D. Gunnarsson, J. Tuorila, A. Paila, J. Sarkar, E. Thuneberg, Yu. Makhlin, P. Hakonen, "Vibronic spectroscopy of an artificial molecule", *cond-mat/0805.1633*.
- [3] M. Sillanpaa, T. Lehtinen, A. Paila, Yu. Makhlin, P. Hakonen, "Landau-Zener interferometry with superconducting qubits", *cond-mat/0510559*.
- [4] А. Абрагам, "Ядерный магнетизм", 1963г.